

京都大学防災研究所 正員 村山朔郎  
同 上 正員・栗原則夫

### 1. まえがき

粘土のせん断特性を支配する主な要素として、現在の応力条件、固め度比、応力履歴、温度などがあげられるが、このうち応力履歴の影響については、いまだ統一的な説明が与えられていないのが現状である。その一つの原因として、三軸試験などでは供試体全体にわたるせん断変形を与えること、また大変形を与えた後にすこしでもずかく、結局測定結果がどの程度せん断領域の状態を反映しているか解らぬといいう測定技術上の困難さに加えて、とくに過圧密粘土の場合、後述するようにその傾向が助長されるといふことが考えられる。そこでこの研究では、繰返し飽和粘土について、一定の含水比において、破壊荷重以下の荷重で種々の繰返しせん断を行なう、2、供試体のより広い部分に、より均一なせん断変形を与える、種々の応力履歴が繰返し粘土の破壊強度に及ぼす影響について主に調べた。なおデータの一部は、本年度関西支部学術講演会において発表している。

### 2. 試料および試験方法

試料は、京大防災研究所構内の湿地帯から採取した粘土で、物性は L.L. = 38.3%，P.L. = 25.5%，粘土分 50% である。この粘土を高含水比で充分練出し、 $0.5 \text{ kN/cm}^2$  の圧力で再圧密したものを作成して用いた。試験は、ヒズミ制御式の圧密非排水三軸圧縮試験で、繰返し載荷の種類により、試験 I, II, II', III, IV に分類される。まず試験 I は、普通の圧縮試験で繰返し載荷は行なわれない（記号 I で表わす）。試験 II では、図-1 のようにヒズミ  $\epsilon = 1\%$  まで 5 サイクルの載荷除荷を行ない、その後  $\epsilon = 10\%$  まで載荷し、除荷して、最終的に破壊までの載荷（た（記号 II で表わす）。試験 III は、ヒズミ増分  $\Delta\epsilon = 1\%$  とするとともに 19 サイクル繰返し載荷し、ついで  $\Delta\epsilon = 2\%$  で 2 サイクル繰返し載荷し、その後破壊させた。試験 IV では、まず  $\epsilon = 1\%$  まで載荷し、以後 2 のヒズミの  $0.1 - 0.3$  を計 25 サイクル繰返し載荷し、その後  $0.1 - 0.3$  を大きく 12 サイクル繰返し、最後に破壊に至らめた。試験 II, IV は、図-1 に図-2 で説明した。また試験 II' では、最初から  $\epsilon = 10\%$  まで載荷し、除荷せず、ついで破壊させた。試験 I, II では、あらかじめ等方圧密試験により求められた含水比が一定（25.3%）となるよう圧密圧力  $3.0, 12, 0.7, 0.44 \text{ kN/cm}^2$  のものについて、他の試験では圧密圧力  $3.0 \text{ kN/cm}^2$  のものについてそれぞれせん断した。ヒズミ速度は、載荷時  $330 \text{ 分}/1\%$ 、除荷時  $1000 \text{ 分}/1\%$  で、すべての場合、せん断開始前に back pressure  $1.0 \text{ kN/cm}^2$  を半日以上作用した。

### 3. 試験結果および考察

3-1. 破壊強度： 破壊を  $(\sigma_1 - \sigma_3)_{\max}$  で定義すると、各試験で破壊時の諸量は表-1 のようにな

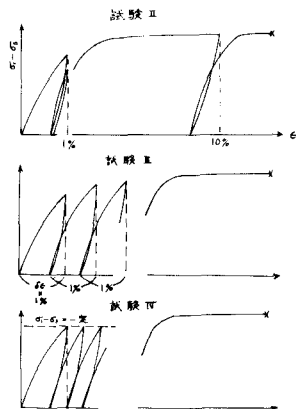


図-1 試験の種類

る。破壊点を  $(\sigma_1 - \sigma_3)/2 \sim (\sigma_1 + \sigma_3)/2$  図上にプロットすると、図-2の通りである。また、すべての点が同一の破壊線上にのり、といふことが特徴である。そして試験Ⅰの各破壊点がバラついていて、破壊ひずみもバラついているのにに対して、試験Ⅱでは、繰返しせん断の効果によつて、応力履歴が違つていても破壊点はほぼ同じよう位置にさへあり、破壊ひずみも大きくなつてバラツキが小さくなつてゐる。これは次のような要因のためと考えられる。

試験Ⅰのような普通の三軸非排水試験では、過圧密粘土がせん断されると、せん断領域で負の間隔水圧が発生し、したがつてこの領域での有効応力は増大し、せん断はこの領域でさうに進行する。そして三軸試験機の性質上、そのような現象および端面拘束との他の影響で、せん断が比較的狭い領域で進行し、供試体の他の部分が充分 mobilize されないうちに破壊してしまうため、強度が小さく測定されたり、バラツキが生じたりする。

こうした現象が繰返しせん断によつてより広範囲にせん断されることにより、這是正され、上述のような効果が生じたと考えられる。一方、正規粘土ではせん断領域で正の間隔水圧が発生するため、過圧密粘土の場合と逆の現象が生じて、せん断は有効応力の大きいまわりの領域に拡大して、比較的広範囲がせん断される。その結果、正規粘土は繰返しせん断と同じようだ破壊点を与える。このことは、図-4において試験Ⅱの最終の経路が他の繰返しせん断の最終の経路に近いものとが、といふことからも推察される。

### 3-2 繰返しせん断によつて生じる限界状態

図-3に試験Ⅱ、Ⅲ、Ⅳのそれを水の繰返し載荷の最終の載荷の出発点で供試体中に残留してゐる間隔水圧 ( $\Delta u_R$ ) を圧密圧力  $\sigma_c$  に対してプロットしてある。图から両者は直線関係にあり、しかも重要なことは、この直線の勾配がほぼ $45^\circ$  とす、といふことである。すなわち、試験Ⅲ、Ⅳのものは多少バラツキが付られるが、最終の載荷の出発点において各試験の供試体中の粒子間の有効応力はほぼ等しい（この場合約 $0.7 \text{ kg/cm}^2$ ）といふことである。このことから定性的に次のことがいえる。すなわち、含水比が同一で応力履歴の異なる粘土の相違は構造の相違にあると考えられると、これらを非排水状態で繰返しせん断することによつて、二種の繰返しあり効果をうえさせてやると、構造が乱されてやつて同じようだ構造となる。構造の乱れは、残留間隔水圧の発生とが、表現われ、結局、十分繰返しせん断が行はれ、供試体

試験の種類	$\sigma_c$ ( $\text{kg}/\text{cm}^2$ )	$w_i$ (%)	$w_f$ (%)	$(\sigma_1 - \sigma_3)_f$ ( $\text{kg}/\text{cm}^2$ )	$\Delta u_f$ ( $\text{kg}/\text{cm}^2$ )	$E_f$ (%)
I	3.0	33.0	25.3	2.480	2.00	11.3
	1.2	33.2	24.9	2.468	0.24	9.6
	0.7	33.1	25.6	2.092	-0.16	7.8
	0.44	32.3	25.2	1.739	-0.35	14.0
II	3.0	33.1	25.3	2.436	2.100	13.1
	1.2	33.8	25.5	2.341	0.282	16.0
	0.7	33.1	25.2	2.357	-0.195	13.7
	0.44	32.9	24.9	2.293	-0.541	13.1
II'	3.0	—	25.3	2.491	2.019	13.6
III	3.0	32.4	24.7	2.267	2.144	11.2
IV	3.0	—	24.1	2.575	1.921	12.9

表-1 試験結果

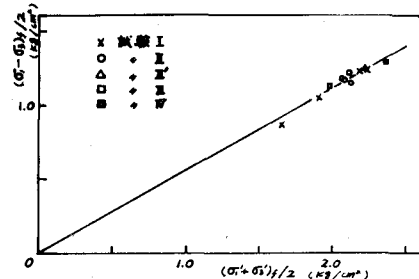


図-2 破壊強度線

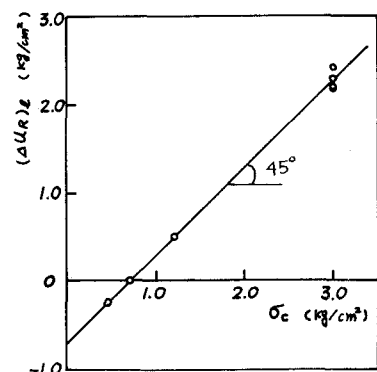


図-3 最終的な残留間隔水圧と圧密圧力の関係

が十分繰返された状態にすぎず、構造が同じになり、粒子間の有効応力も同じになります。いいかえますと、繰返しによく現出する一定の限界状態が各含水比について存在し、この状態での粒子間の有効応力は、含水比により、一義的に決まる。これを式で表わすと、 $\sigma'_c = \sigma'_{re} + \sigma'_s$  ……(1)

ここに、 $\sigma'_c$  は、圧密平衡状態における粒子間有効応力、 $\sigma'_{re}$  は、この含水比での繰返し限界状態での有効応力、 $\sigma'_s$  は、圧密圧力のうち構造によく受けもたれやすい部分で、繰返しによく消滅する。

### 3-3 繰返し載荷の最終の載荷時のせん断特性

図-4 に最終載荷時の有効応力経路を示す。図中には比較のため、試験 I の  $\sigma_c = 0.7 \text{ kN/cm}^2$  のものも示されている。立ち上る点はバラツキがあるものの、経路は同じようすの傾向を示しており、破壊に近いところではほとんど同じような位置にきている。また、試験 I の経路より上にいくらんがあり、経路が図-2 の破壊線の上側へ出でいることがわかる。すなわち、図-2 からの粘土では  $C' = 0$  と考えられるから、図-4 より、最終載荷時に

破壊時の  $\phi'$  より大きい  $\phi'$  を mobilize したのち、試験の種類、応力履歴への違いにかかわらず破壊時  $\sigma_c$  は、同一の  $\phi'$  が發揮されることがわかる。図-5 に最終載荷時の応力、向げ半径圧へヒズミ曲線の例を示す。応力～ヒズミ曲線の形から最終載荷時には粘土は塑性状態になることがある。

### 3-4 繰返し載荷時の力学特性(試験 III, IV)

図-6 に試験 IV の繰返し載荷時の応力～ヒズミ曲線上の  $n$  と  $E_m$  における接線の勾配  $E_t$  (接線弾性係数) と繰返し回数  $n$  の関係を示す。 $\sigma_c - \sigma_s = 0.3 \sim 1.2 \text{ kN/cm}^2$  の増加とともに  $E_t$  は減少 ( $n=0.5$  のときほど変化は大きい) / 2 つあるが、 $\sigma_c - \sigma_s = 1.5 \text{ kN/cm}^2$  のときは若干増加 / 2 つある。これは砂に対する <sup>1)</sup> 同様の形の繰返し荷重試験で得られた  $n$  と  $E_m$  の関係と逆の傾向である。次に、繰返しせん断時の残留ヒズミ  $\epsilon_r$  は、砂の場合

$$E_m = m / a + b n \quad (\text{佐々木の式}) \quad \dots \dots (2)$$

が成立することがわかる。図-6 に  $E_m$  は  $n$  回目の残留ヒズミ、 $n$  は繰返し回数、 $a, b$  は定数である。試験 III, IV につけた  $E_m$  と  $n$  の関係を示したのが図-7 である。もし(2)式が成立すれば、図において  $n/E_m$  と  $n$  の間に直線関係が得られる筈である。試験 III の  $n \geq 12 \sim 13$  のまでは直線  $2^{\circ}$  である。一方、図から  $a = 1.72$ ,  $b = 0.11$  が得られ、結局  $m \rightarrow \infty$  とすれば、 $E_m = 9.09\% \cdot n$  が得られる。一方、試験 IV の  $n$  の繰返し範囲では(2)式は成立

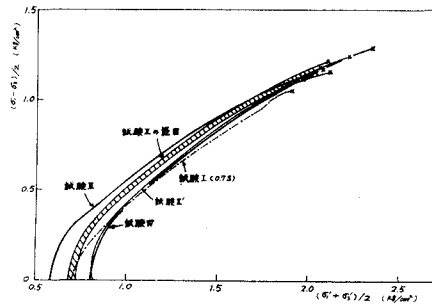


図-4 最終載荷時の有効応力経路

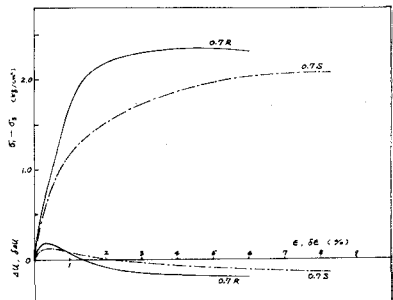


図-5 最終載荷時の応力、向げ半径圧へヒズミ曲線の例

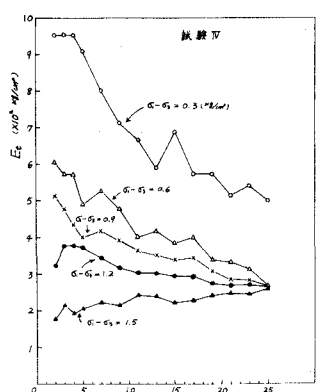


図-6 繰返し載荷による接線弾性係数の変化

といはず。試験III, IV のこの違いは、図中にも示すように、 $E_R$ の値が試験IIでは直線部分で4%へ5%であり、十分塑性状態に入らずに終了し、試験IVでは $\epsilon = 25\%$ と $E_R = 1.94\%$ である。まだ十分塑性状態とは、といなすことか一つの理由と考えられる。また、もと $\epsilon$ を大きくすると直線関係が得られることも考えられる。

図-8(a)(b)に繰返し載荷時の有効応力経路を示す。各経路において、それでひずみの出発点からのひずみ増分 $\delta\epsilon$ の算出し地点を結ぶと図中の点線のような等ひずみ増分線が得られる。(a)(b)において、それでひずみ等ひずみ増分線は原点を通る曲線となる。同じ $\delta\epsilon$ の線でも位置はそれとおり連続性は失われない。これは、図-7からもわかるように繰返し載荷時の試験III, IVの状態が異なるためであろう。この等ひずみ増分線をもう少し詳しく調べるために、例えば図-9において $\delta\epsilon$ を $\sigma_1 - \sigma_3$ と $\sigma_1 + \sigma_3$ を取った対数ロットすると、 $\delta\epsilon$ の如何にせよ $\epsilon \geq 15\%$ では $\sigma_1 - \sigma_3 / (\sigma_1 + \sigma_3)$  =一定の傾向がみられる。 $\epsilon = 15\%$ の経路より左側では、等ひずみ増分線は原点を通る直線となる。さらに $\delta\epsilon$ を $\sigma_1 - \sigma_3$ に、各経路の出発点における残留剛性係数 $A_{LR}$ からの増分 $\Delta A_{LR}$ と $\sigma_1 - \sigma_3$ の比で定義した向ヶ谷水压係数 $A_S$ を $\epsilon$ に対してプロットすると図-10のようになり、 $\delta\epsilon$ の大小とともに $A_S$ はバラツキがあるが、やはり $\epsilon \geq 15\%$ では $A_S$  =一定となる。すなわち、 $\epsilon \geq 15\%$ は $\delta\epsilon$ が決まれば $\phi'$ の mobilization が決まり、向ヶ谷水压係数 $A_S$ が決まる。

#### 4. 謝辞

本研究に当たっては、京都大学研修員松川元氏に実験上の並々ならぬ御協力を得たことを付記し、ここに謝意を表す次第である。

[参考文献] 1) 村山・ハ木 "砂質土の変形特性について" 土と基礎 1965年2月

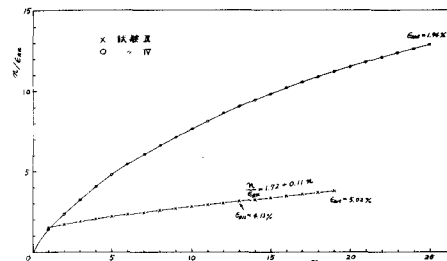


図-7 残留ひずみと繰返し回数の関係

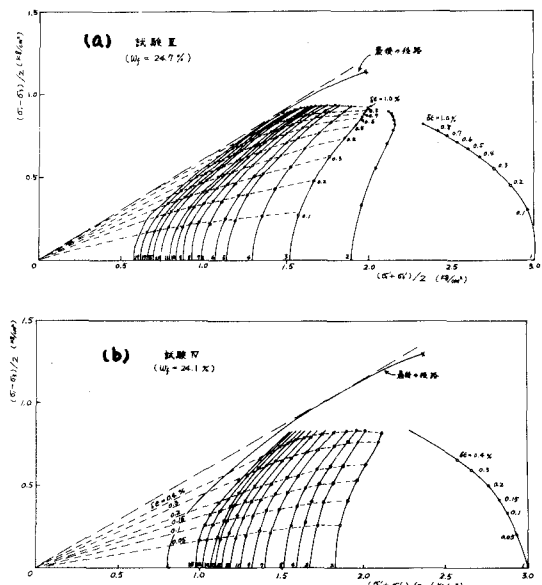


図-8 等ひずみ増分線

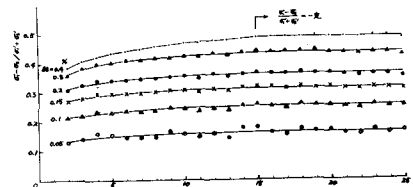


図-9 φ'の mobilization の変化

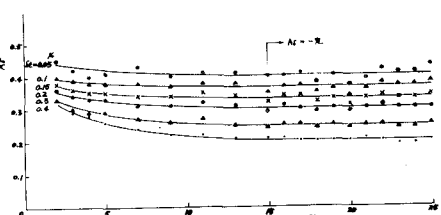


図-10 等ひずみ増分線上での向ヶ谷水压係数